

بررسی ساختار، پایداری و راسمیزاسیون ایزومرهای تری آزاسیکلوهپتاترالان از دیدگاه محاسبه‌های نظری

سمیه سلیمانی امیری*

گروه شیمی، واحد کرج، دانشگاه آزاد اسلامی، کرج، ایران

چکیده: با توجه به طبیعت و نقش مهم آزاسیکلوهپتاترالان و آزاسیکلوهپتاتری‌انیلیدن در شیمی آلی، ساختار و پایداری و راسمیزاسیون ده ایزومر تری آزاسیکلوهپتا-۱،۲،۴-ترالان از طریق کاربن‌های مربوطه با استفاده از روش‌های محاسباتی از اساس و تابعیت چگالی الکترون مورد بررسی قرار گرفت. ایزومر ۹a به عنوان پایدارترین ایزومر تری آزاسیکلوهپتا-۱،۲،۴-ترالان معرفی شد. این ایزومر دارای تقارن غیر مسطح بوده و بزرگ‌ترین زاویه‌ی دی‌ایمینی و کوچک‌ترین زاویه‌ی چرخش را در بین ایزومرهای تری آزاسیکلوهپتا-۱،۲،۴-ترالان موردنی مطالعه به خودش اختصاص داده است. ایزومرهای ۱a، ۹a به دلیل دافعه بین زوج الکترون‌های غیرپیوندی در اتم‌های نیتروژن مجاور، جزو ناپایدارترین ایزومرهای آلنی می‌باشند. تقارن غیر مسطح آلن‌ها منجر به فعالیت نوری آنها می‌شود. راسمیزاسیون تری آزاسیکلوهپتا-۱،۲،۴-ترالان از طریق حالت گذار یک‌تایی تری آزاسیکلوهپتا-۱،۳،۵-ترالان-۷-ایلیدن انجام می‌شود و به موقعیت اتم نیتروژن در حلقه وابسته است. ایزومرهایی دارای اتم نیتروژن در موقعیت ۱ حلقه (ایزومرهای ۱،۲،۴-و ۱،۳،۴-و ۱،۵-و ۱،۲،۳-۴-و ۱،۵-۵-و ۱،۴-۵-و ۱،۳-۴-و ۱،۵-۵) تری آزاسیکلوهپتا-۱،۲،۴-ترالان از طریق حالت گذار خصل آروماتیک گونه‌های یک‌تایی تری آزاسیکلوهپتا-۱،۳،۵-ترالان-۷-ایلیدن راسمیزه می‌شوند. در حالی که ایزومرهای ۱،۳،۴-و ۱،۳،۵-تری آزاسیکلوهپتا-۱،۲،۴-ترالان از طریق حالت گذار آروماتیک یک‌تایی تری آزاسیکلوهپتا-۱،۳،۵-ترالان-۷-ایلیدن راسمیزه می‌شوند. همچنین گونه‌هایی دارای اتم نیتروژن در موقعیت ۱ حلقه آزاسیکلوهپتا-۱،۳،۵-ترالان-۷-ایلیدن راسمیزه شدن نشان می‌دهند. ایزومر ۲a با کوچک‌ترین $\Delta E^\#$ و $\Delta H^\#$ و $\Delta G^\#$ بالاترین سرعت راسمیزاسیون را به خودش اختصاص می‌دهد.

واژه‌های کلیدی: تری آزاسیکلوهپتاترالان؛ تری آزاسیکلوهپتاتری‌انیلیدن؛ راسمیزاسیون؛ از اساس؛ تابعیت چگالی الکترون.

KEYWORDS: Triazacycloheptatetraenes; Triazacycloheptatrienylidenes; Racemization; Ab initio; DFT.

مقدمه

یک حلقه هفت عضوی آلنی است را تولید می‌کند [۱۴-۶]. دانشمندان همچنین به مطالعه مشتقان نیتروژنه آن یعنی ۲-آریل نایترن‌ها نیز علاقه‌مند شدند که به ترتیب بالا می‌توانند به آلن‌های مربوطه تبدیل شود. شایان ذکر است که چنین واکنشی گرمaza است.

تفییر اندازه حلقه در آریل‌کاربن‌ها و آریل‌نایترن‌ها طی واکنش فتوشیمیایی از دیرباز مورد توجه بوده است [۶-۱]. به طوری که بزرگ شدن حلقه بنزنی آریل‌کاربن در دو مرحله و از طریق حدواسطه‌ای دو حلقه‌ای مربوطه انجام شده و سیکلوهپتا-۱،۲،۴-ترالان که

*E-mail: s.soleimsni@kiau.ac.ir ; solesomy@yahoo.com

**عهده دار مکاتبات

نقش مهم کاربن‌های مزدوج مسطح حلقوی در راسمیزاسیون ایزومرهای آنی غیر مسطح موجب شد تا این گونه‌ها مورد مطالعه قرار بگیرند [۲۸-۳۳]. در نتیجه پیرو کارهای گذشته بر روی دی‌آزاسیکلوهپتا-۱-۶،۴،۲،۱-ترالان و کاربن‌های مربوطه [۳۳]، در این بخش راسمیزاسیون ایزومرهای تری‌آزاسیکلوهپتا-۱-۶،۴،۲،۱-ترالان از طریق کاربن‌های تری‌آزاسیکلوهپتا-۱-۵،۳،۱-ترالان-۷-ایلیدن مورد بررسی قرار می‌گیرد.

بخش نظری

شیمی محاسباتی ساختارها و واکنش‌های شیمیایی را بر اساس قانون‌های بنیادی فیزیک، به صورت عددی شبیه‌سازی می‌کند. درنتیجه بدون انجام فعالیت‌های آزمایشگاهی و تهیه از طریق اجرای برنامه‌های محاسباتی می‌توان بسیاری از پدیده‌های شیمیایی را مورد مطالعه و بررسی قرار داد. به گونه‌ای که به تازگی دانشمندان توائستند اطلاعات با ارزشی در مورد مولکول‌ها و واکنش‌هایی که با مشاهده‌های مستقیم قابل دستیابی نبودند به دست آورند [۳۴-۳۶]. از این‌رو در این کار پژوهشی بر آن شدیم تا به مطالعه محاسباتی ساختار و ویژگی‌هایی و راسمیزاسیون تری‌آزاسیکلوهپتا-۱-۶،۴،۲،۱-ترالان‌ها و همچنین بررسی کاربن‌های مربوطه آنها پردازیم. نخست همه ساختارهای مربوط به ایزومرهای تری‌آزاسیکلوهپتا-۱-۶،۴،۲،۱-ترالان و تری‌آزاسیکلوهپتا-۱-۵،۳،۱-ترالان-۷-ایلیدن با استفاده از نرم افزار گوس ویو ۰.۵ و بدون اعمال بهینه سازی اولیه، به عنوان ورودی برای انجام محاسبه با برنامه گوسین ۰.۹ آماده‌سازی شدند [۳۷]. برای تمامی گونه‌ها از محاسبه‌های DFT و از توابع سه پارامتری هیریدی بک با استفاده از همبستگی لی-یانگ-پار که توسط آدامو و بارون پیاده‌سازی شده است، استفاده شد [۳۸-۳۹]. همچنین مجموعه‌ی پایه‌ی G^{**} - G^{***} ۳۱۱ برای این روش به کار گرفته شد [۴۰]. برای روش مرتبه‌ی دوم مولر-پلست (MP2)، هم از مجموعه‌ی پایه‌ی G^{***} - G^{****} ۳۱۱ استفاده شد به منظور بهبود بخشیدن به پیش‌بینی مقدارهای انرژی، ساختارهای بهینه‌سازی شده با روش MP2 به عنوان ورودی برای محاسبه‌های تک نقطه‌ای در روش PM4(SDTQ) با مجموعه‌ی پایه‌ی G^{**} - G^{***} ۶-۳۱۱ استفاده شد [۴۱].

حالتهای الکترونی یکتایی با روش تابع موج اسپین محدود و حالتهای الکترونی سه‌تایی و پنج‌تایی با استفاده از تابع موج اسپین نامحدود محاسبه شد. فرکانس‌های ارتعاشی هارمونی و انرژی‌های نقطه صفر (ZPE) برای این ساختارهای بهینه سازی شده در روش‌های *ab initio* و DFT (به جز در موارد یاد شده) محاسبه شد. فرکانس‌های ارتعاشی و داده‌های ZPE در روش B3LYP با ضریب تصحیح ۰/۹۸، اصلاح شدند [۴۵، ۴۶].

دانشمندان همچنین به مطالعه مشتقات نیتروژن دار سیکلوهپتا-۶،۴،۲،۱-ترالان یعنی ۲-آزاسیکلوهپتا-۱-۶،۴،۲،۱-ترالان و آزاسیکلوهپتا-۱-۶،۴،۲،۱-ترالان و همچنین مشتقات حاوی دو اتم نیتروژن آن یعنی ۵،۱-دی‌آزاسیکلوهپتا-۱-۶،۴،۲،۱-ترالان علاقمند می‌باشند [۱۵-۱۷]. همچنین از نقش مشتق دارای سه اتم نیتروژن یعنی تری‌آزاسیکلوهپتا-۱-۶،۴،۲،۱-ترالان در فتوالیز آریل نایترن‌های مربوطه نمی‌توان چشم پوشی کرد [۱۸].

در ضمن، طبیعت و نقش کاربن‌های مربوطه یعنی سیکلوهپتا-۱-۶،۴،۲،۱-ترالان و دی‌آزاسیکلوهپتا-۱-۶،۴،۲،۱-ایلیدن هم مورد توجه بوده است. ولی مطالعات آزمایشگاهی توائستند به وشنی ارتباط بین سیکلوهپتا-۱-۶،۴،۲،۱-ترالان و سیکلوهپتا-۱-۵،۳،۱-ترالان-۷-ایلیدن را بیان کنند. از سوی دیگر، نقش محاسبه‌های نظری در درک بیش‌تر و عمیق‌تر مکانیسم واکنش‌های شیمیایی بسیار دارای اهمیت است. پژوهشگران برای مطالعه دقیق‌تر سیستمیک، ترمودینامیک و مکانیسم واکنش‌ها و همچنین جلوگیری از اتلاف زمان و هزینه به محاسبه روی اوردن. مطالعه محاسباتی واکنش‌ها در پیش‌گویی و تعیین ساختار و پایداری حالت گذار و حدواتسطه‌ای مربوطه کمک شایانی می‌کند. به طوری که نتیجه‌های بدست آمده از بررسی و پیش‌گویی ساختار حالت گذار و حدواتسطه‌ای توائد راهی جدید در طراحی و سنتز ترکیبات نو پیش‌روی محققین بگذرد [۱۹-۲۷]. در این راستا دانشمندان برای مطالعه دقیق‌تر سیکلوهپتا-۱-۶،۴،۲،۱-ترالان و دی‌آزاسیکلوهپتا-۱-۵،۳،۱-ترالان-۷-ایلیدن و ارتباطشان با سیکلوهپتا-۱-۶،۴،۲،۱-ترالان از محاسبات بهره گرفتند. مطالعات تئوری نشان دادند که حالت الکترونی یکتایی پوسته‌باز برای گونه‌های ۱-آزاسیکلوهپتا-۱-۵،۳،۱-ایلیدن و سیکلوهپتا-۱-۵،۳،۱-ایلیدن، پایدارتر از حالت الکترونی یکتایی پوسته بسته است. همچنین حالت الکترونی یکتایی پوسته‌باز این گونه‌ها، حالت گذار در راسمیزاسیون سیکلوهپتا-ترالان مربوطه است [۱۱-۱۸].

سیکلوهپتا-۱-ایلیدن حالت پایه یکتایی دارد در صورتی که ۱-آزاسیکلوهپتا-۱-۵،۳،۱-ترالان-۷-ایلیدن حالت الکترونی پایه سه‌تایی دارد. اختلاف بین یکتایی پوسته‌باز و سه‌تایی آن حدود 1 kcal/mol است. همین امر یعنی اختلاف کم بین دو حالت الکترونی گونه‌ی ۱-آزاسیکلوهپتا-۱-۵،۳،۱-ترالان-۷-ایلیدن موجب شده که دانشمندان توانند کاربن سه‌تایی آن را توسط تکنیک EPR شناسایی کنند. همچنین مطالعه‌های محاسباتی نشان داده است که سیکلوهپتا-۱-۶،۴،۲،۱-ترالان‌ها پایدارترین گونه در منحنی انرژی پتانسیل (EPS) می‌باشند و از طریق حالت گذار سیکلوهپتا-۱-۵،۳،۱-ترالان-۷-ایلیدن به انانتیومر مربوطه تبدیل می‌شوند [۱۱-۱۸].

تری آزاسیکلوهپتا-۱-۶-ترالان، ده ایزومر ساختاری با انرژی‌های متغّری دارد که بیش‌ترین اختلاف انرژی آن‌ها $60/58 \text{ kcal/mol}$ می‌باشد (شکل ۱ و جدول ۱).

پایداری آن‌ها بسته به موقعیت اتم‌های نیتروژن نسبت به هم و نزدیکی و دوری به مرکز آنی تغییر می‌کند (شکل ۱ و جدول ۱). همچنین پایداری هر کدام از این آن‌ها به هیبریداسیون مرکز آنی، طول پیوندهای مرکز آنی، میزان انحراف مرکز آنی از حالت مسطح و اندازه زاویه آنی بستگی دارد (شکل ۱ پیوست و جدول ۱ و جدول‌های ۱ و ۲ پیوست).

ایزومر ۱-۶-تری آزاسیکلوهپتا-۱-۶-ترالان (7a) یک مرکز دی‌ایمینی دارد که نسبت به یک دی‌ایمین ایده‌آل خمیدگی و چرخش دارد (شکل ۱ پیوست). به طوری که زاویه دی‌ایمینی آن $\text{N}_1\text{C}_7\text{N}_6$ حدود $163/0^\circ$ است که در مقایسه با دی‌ایمین $\text{NH}=\text{C}=\text{NH}$ با زاویه $169/80^\circ$ که در $\text{B3LYP}/6-311++\text{G}^{**}$ محاسبه شده، خمیده‌تر است. اگر زاویه چرخش را اختلاف بین 90° و زاویه دای خمیده‌تر است. در صورتی که زاویه چرخش $7a$ زاویه چرخشی در حدود $\text{C}_2\text{N}_1\text{N}_6\text{C}_5$ در نظر بگیریم، ایزومر $7a$ زاویه چرخشی در حدود $35/46^\circ$ دارد. در صورتی که زاویه چرخش دی‌ایمین $\text{NH}=\text{C}=\text{NH}$ تنها $7/64^\circ$ می‌باشد. در نتیجه پایدارترین ایزومر آنی یعنی $7a$ دارای کمترین خمیدگی در زاویه‌ی دی‌ایمینی بوده و با داشتن دو باند ایمینی با طول به تقریب یکسان ($1/24 \text{ \AA}$ و $1/23 \text{ \AA}$) و مرتبه‌ی پیوند $1/41$ و $1/41$ ، بیش‌ترین خصلت آنی (ایمینی) در بین کلیه آن‌های $\text{C}_4\text{N}_3\text{H}_3$ را به خود اختصاص می‌دهد (شکل ۱ پیوست و جدول‌های ۱ و ۲ پیوست). همچنین هیبریداسیون با نشان دادن سهم بالای اریتال p در پیوند π دی‌ایمین مطالب بالا را تأیید می‌کند (جدول ۲ پیوست).

ایزومرهای ۶a و ۷a به دلیل نداشتن اتم‌های نیتروژن مجاور هم از پایدارترین گونه‌ها محسوب می‌شوند (شکل ۱ و جدول ۱). به طوری که ایزومر ۶a دارای مرکز کیتین ایمین است و در بین آن‌های $\text{C}_4\text{N}_3\text{H}_3$ در ردۀ دوم پایداری قرار می‌گیرد (جدول ۱). زاویه $\text{CH}_2=\text{C}=\text{NH}$ در ایزومر $6a$ محاسبه شده که در مقایسه با $\text{B3LYP}/6-\text{C}_1\text{C}_7\text{C}_6$ محاسبه شده در $\text{B3LYP}/6-\text{CH}_2=\text{C}=\text{NH}$ کیتین ایمین $311++\text{G}^{**}$ با زاویه $174/18^\circ$ خمیده‌تر است (شکل ۱ پیوست). همچنین زاویه‌ی چرخش در ایزومر $6a$ حدود $30/34^\circ$ است. در صورتی که زاویه‌ی چرخش در کیتین ایمین $\text{CH}_2=\text{C}=\text{NH}$ تنها $24/1^\circ$ محاسبه شده است. همان‌طور که انتظار می‌رود روند پایداری این دو ایزومر با افزایش $\Delta E_{\text{LUMO-HOMO}}$ آن‌ها مطابقت دارد (شکل ۲). ایزومرهای آنی دیگر با افزایش خمیدگی و چرخش، خصلت آنی ایزومرهای را نشان می‌دهند (شکل ۱ پیوست و جدول‌های ۱ و ۲ پیوست). ایزومرهای ۵a و ۲a-۵a و ۸a و ۱۰a با دو اتم نیتروژن مجاور

از این داده‌ها برای واقعی بودن ساختارهای مورد مطالعه استفاده می‌شود. اگر تمام مقدارهای فرکانس‌های ارتعاشی هارمونی مثبت باشد ساختار مورد نظر به عنوان کمینه در نظر گرفته می‌شود، اما اگر یک فرکانس مجازی (علامت منفی) داشته باشد آن ساختار به عنوان حالت گذار می‌باشد و ایزومر واقعی نخواهد بود. محاسبه‌های مربوط به آنالیز NBO در روش $\text{B3LYP}/6-311++\text{G}^{**}$ انجام شد [۴۷].

نتیجه‌ها و بحث

در این بخش ساختار، پایداری و راسمیزاسیون تری آزاسیکلوهپتا-۱-۶-ترالان از طریق حالت گذار کاربن‌های مربوطه با استفاده از روش‌های $ab-initio$ DFT و B3LYP مورد بررسی قرار می‌گیرد (شکل‌های ۱ تا ۳ و جدول‌های ۱ تا ۳). روش‌های محاسباتی که در این بخش مورد استفاده قرار گرفتند عبارتند از:

$\text{B3LYP}/6-311++\text{G}^{**}$, $\text{MP2}/6-31\text{G}^*$, $\text{MP4(SDTQ)}/6-31\text{G}^*$.

مقدار انرژی نسبی با قراردادن پایدارترین گونه برابر $0/00 \text{ kcal/mol}$ محاسبه شده است (جدول ۱). همه روش‌ها در معرفی پایدارترین ایزومر هم خوانی دارند. این هم خوانی دیده شده در روند نتیجه‌ها باعث قابل اعتمادتر شدن نتیجه‌ها می‌شود. در این میان، درستی و کارایی B3LYP در محاسبه ساختار، پارامترهای هندسی، انرژی و سایر نتیجه‌های به دست آمده به خوبی مشخص شده است درنتیجه در این کار، نتیجه‌هایی به دست آمده از روش $\text{B3LYP}/6-311++\text{G}^{**}$ مواردی که در این بخش مورد بررسی قرار می‌گیرند عبارتند از:

(۱) بررسی ساختار، پایداری و فعالیت نوری ایزومرهای تری آزاسکلیوپهپتا-۱-۶-ترالان

(۲) حالت‌های الکترونی یکتایی و سه‌تایی ایزومرهای کاربنی تری آزاسیکلوهپتا-۱-۵،۳،۱-ترالان-۷-ایلیدن

(۳) راسمیزاسیون آن‌های مطرح شده در بند ۱

بررسی ساختار، پایداری و فعالیت نوری ایزومرهای تری-آزاسکلیوپهپتا-۱-۶-ترالان

ساختار بهینه‌سازی شده ده ایزومر تری آزاسیکلوهپتا-۱-۶،۴،۲،۱-ترالان با استفاده از روش $\text{B3LYP}/6-311++\text{G}^{**}$ در شکل ۱ پیوست آمده است. هر کدام از این ساختارهای آنی از گونه‌های کاربنی مربوطه پایدارترند. بسته به موقعیت اتم‌های نیتروژن در حلقه، مرکزهای آنی، دی‌ایمینی و یا کیتین ایمینی خمیده شده در حلقه وجود دارد.

مجاور هستند (شکل ۱ پیوست و جدول ۲ پیوست). ایزومر **9a** به علت ساختار آنی خود از ایزومر **1a** با شکل ایلیدی پایدارتر است (شکل ۱ پیوست و جدول ۱ و جدول ۲ پیوست). ایزومر **1a** به علت داشتن سه اتم نیتروژن مجاور دارای دافعه‌ی زوج الکترون‌های غیرپیوندی است. رهایی از این دافعه مستلزم این است که به شکل ایلید درآید. فاصله‌ی زیاد گروه CN از یک طرف و وجود N₂ و N₃ در مجاورت N₁ از طرف دیگر موجب شد ایزومر **1a** به عنوان ناپایدارترین ایزومر شناخته شود (شکل ۱ پیوست و جدول ۱). دافعه‌ی شدید بین سه اتم نیتروژن مجاور در حلقه‌ی هفت‌تایی **9a** افزون بر ایزومر **1a**، در ایزومر **9a** نیز دیده می‌شود. بنابراین **9a** در ردیف دومین آن ناپایدار قرار می‌گیرد (جدول ۱). همان‌گونه که انتظار می‌رود روند پایداری این دو ایزومر با افزایش ΔE_{LUMO-HOMO} آن‌ها مطابقت دارد (شکل ۲). باوجود این که زاویه‌ی مرکز کیتین‌ایمینی و میزان اربیتال p شرکت‌کننده در پیوند π، در ایزومر **5a** نسبت به **6a** بزرگتر است ولی ایزومر **5a** از پایداری کمتری نسبت به ایزومر **6a** برخوردار است (جدول ۱). این ناپایداری ناشی از دافعه‌ی زوج الکترون‌های غیرپیوندی در اتمهای نیتروژن مجاور N₃ و N₄ در ایزومر **5a** است (شکل ۱ پیوست). ساختارهای بهینه‌سازی شده در G**+G**/B3LYP/6-311++G** نشان می‌دهد که کیتین‌ایمین بسیار خمیده (103°-108°)، به همراه زاویه چرخش بالا (64°-76°) و همچنین دو مرتبه‌ی پیوند متفاوت برای باندهای کیتین‌ایمین در ایزومرهای **1a** و **2a** و **3a** و **8a**، آن‌ها را به شکل ایلید سوق می‌دهد (شکل ۱ و جدول ۳ پیوست). باید خاطر نشان کرد که که گونه‌هایی با ساختار ایلید به پایداری گونه‌های آنی نمی‌رسند [۴۹-۵۸].

حالتهای الکترونی یکتایی و سه‌تایی ایزومرهای کاربنی توی آزاسیکلوهپتا-۱,۱-۵,۳-تری‌ان-۷-ایلیدن
انرژی‌های نسبی محاسبه شده برای دو حالت الکترونی مسطح یا به تقریب راسمیزاسیون مستلزم گذار از یک شکل مسطح یا به نسبت مسطح است که برای ایزومر **1a** به دلیل دارا بودن سه اتم نیتروژن در موقعیت‌های ۱ و ۲ و ۳ حلقه، به شدت ناپایدار است.

(۱) سری الف: گونه‌هایی که دارای اتم نیتروژن در موقعیت ۱ حلقه بوده و شامل ایزومرهای **1b-8b** می‌باشند.
(۲) سری ب: گونه‌هایی که هیچ نیتروژنی در موقعیت موقعیت ۱ حلقه ندارد و شامل ایزومرهای **9b** و **10b** می‌باشند (شکل ۱).

سری الف

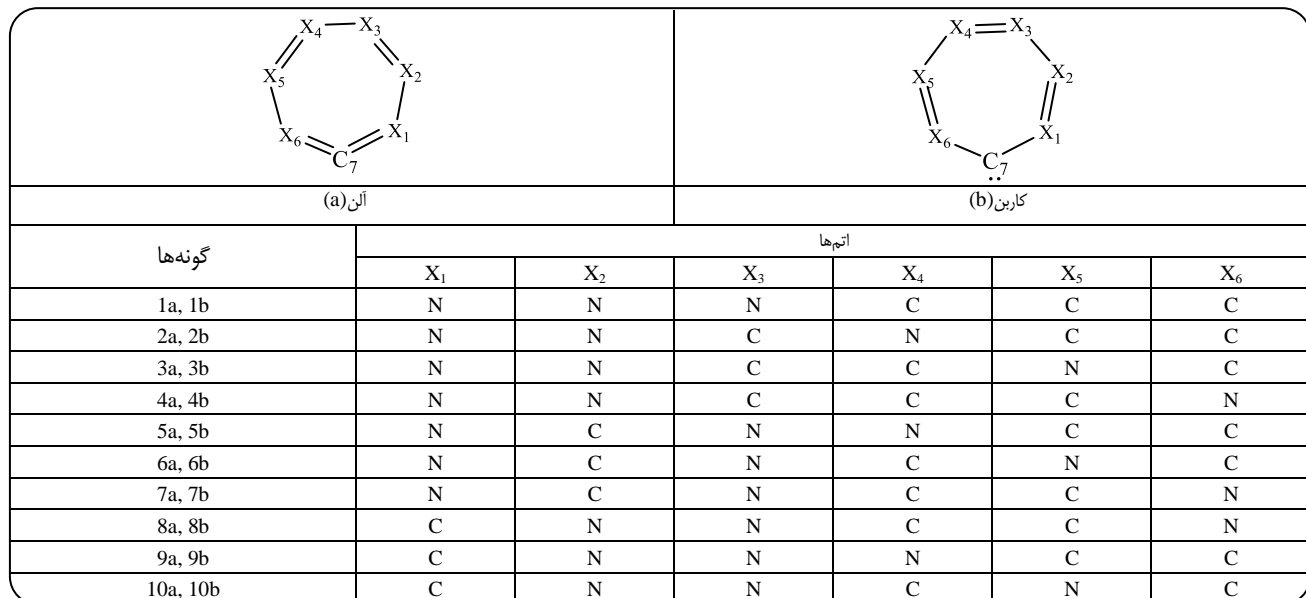
حالتهای الکترونی یکتایی با تقارن مسطح از ایزومرهای **8b_s**, **7b_s**, **6b_s**, **5b_s**, **3b_s**

از ایزومرهای به نسبت ناپایدار به شمار می‌آیند (شکل ۱ پیوست و جدول ۱). در بین آن‌ها **5a** و **10a** چون ساختار ایلیدی ندارد از بقیه پایدارترند (شکل ۱ و جدول ۱ و جدول ۲ پیوست). ایزومر **5a** با داشتن گروه کیتین‌ایمین و زاویه کیتین‌ایمینی ۱۵۲/۲۰° و زاویه‌ی چرخش ۳۲/۴۵° در ردیف سوم پایداری قرار دارد (جدول ۱). گونه‌ی **10a** در مرکز آنی بوده و زاویه‌ی آنی C₁C₇C₆ ۳۲/۱۷° آن ۱۴۰/۱۰° می‌باشد. همچنین زاویه‌های چرخش آن نیز ۳۲/۳۲ است (شکل ۱ پیوست). همان‌گونه که انتظار می‌رود روند پایداری این دو ایزومر با افزایش ΔE_{LUMO-HOMO} آنها مطابقت دارد (شکل ۲). باوجود این که زاویه‌ی مرکز کیتین‌ایمینی و میزان اربیتال p شرکت‌کننده در پیوند π، در ایزومر **5a** نسبت به **6a** بزرگتر است ولی ایزومر **5a** از پایداری کمتری نسبت به ایزومر **6a** برخوردار است (جدول ۱). این ناپایداری ناشی از دافعه‌ی زوج الکترون‌های غیرپیوندی در اتمهای نیتروژن مجاور N₃ و N₄ در ایزومر **5a** است (شکل ۱ پیوست). ساختارهای بهینه‌سازی شده در B3LYP/6-311++G** نشان می‌دهد که کیتین‌ایمین بسیار خمیده (103°-108°)، به همراه زاویه چرخش بالا (64°-76°) و همچنین دو مرتبه‌ی پیوند متفاوت برای باندهای کیتین‌ایمین در ایزومرهای **1a** و **2a** و **3a** و **8a**، آن‌ها را به شکل ایلید سوق می‌دهد (شکل ۱ و جدول ۳ پیوست). باید خاطر نشان کرد که که گونه‌هایی با ساختار ایلید به پایداری گونه‌های آنی نمی‌رسند [۴۹-۵۸]. ایزومرهای **2a** و **3a** فرم ایلیدی خود را مدیون دافعه‌ی بین زوج الکترون‌های غیرپیوندی اتمهای نیتروژن N₁ و N₂ می‌باشند، به طوری که با رسیدن به فرم ایلیدی از این دافعه رها می‌شوند (شکل ۱ پیوست و جدول ۲ پیوست). افزون بر دافعه‌ی بین C₇ و N₂، وجود گروه الکترون کشنه CN در مجاورت کربن منفی N₁ و N₂، به پایداری ایزومر **3a** کمک می‌کند (شکل ۳aI). همچنین الکترونگاتیبوی بالای N₅ در ایزومر **8a** علاوه بر مجاورت N₁ با مرکز کاربنی موجب به وجود آمدن فرم رزونانسی ایلید می‌شود، ولی چون **3a** در مجاورت N₄ وجود دارد الکترون کشندگی را به خوبی ایزومر **3a** در انجام نمی‌دهد (شکل ۱ پیوست و ۳aI). در بین ایزومرهای آنی، **4a** تنها ایزومری است که مینیمم نبوده بلکه حالت گذار است (جدول ۱). وجود دو اتم نیتروژن مجاور در موقعیت‌های ۱ و ۲ حلقه، **4a** به فرم ایلیدی سوق می‌دهد. ولی وجود N₆ در مجاورت C₇ منفی به ناپایداری شکل ایلیدی می‌انجامد (شکل ۳aI). بنابراین ایزومر **4a** به صورت آنی وجود ندارد بلکه به شکل کاربن یکتایی غیرمسطح به عنوان حالت گذار ظاهر می‌شود (شکل ۱ پیوست). ناپایدارترین ایزومرها، ایزومرها، ایزومرها، **9a** با سه اتم نیتروژن

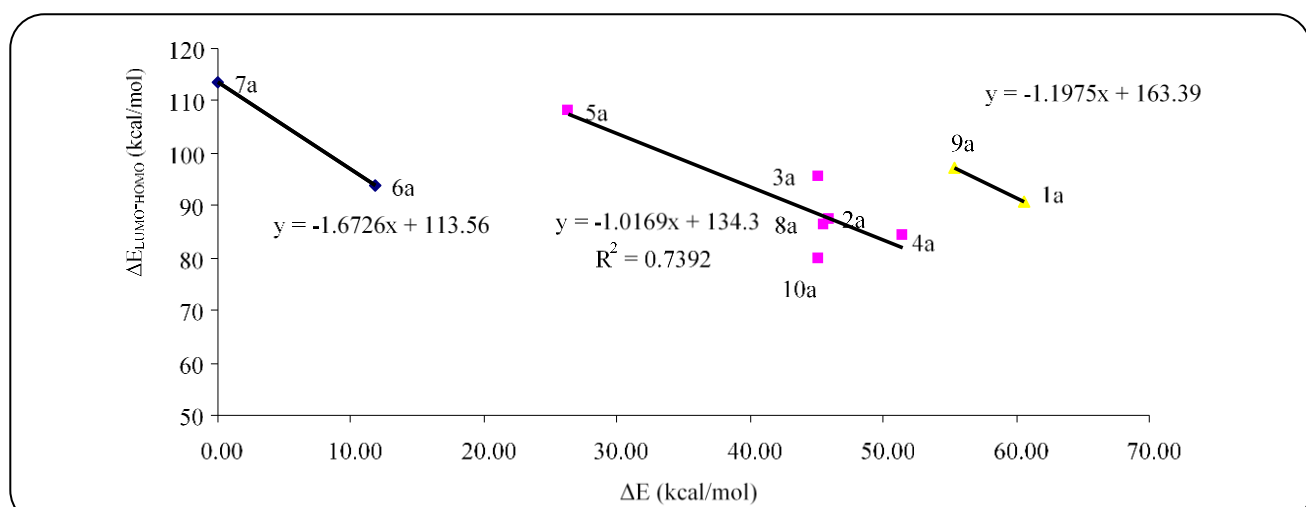
جدول ۱- انرژی های نسبی (ΔE) محاسبه شده در سه روش نظری برای ایزومرهاي ترى آزاسیکلوهپتا-۱،۴،۲،۶-ترالان (1a-10a) و حالت های الکترونی یکتایی (s) و سه تایی (t) از ایزومرهاي ترى آزاسیکلوهپتا-۱،۵،۳،۱-ایلیدن (2b-10b) به همراه انرژی نقطه صفر (ZPE) محاسبه شده در روش B3LYP/6-311++G**

گونه ها	انرژی نسبی (kcal/mol)			VZPE (kcal/mol)
	B3LYP/ 6-311++G**	^a MP2/6-31G*	^a MP4(SDTQ)/6-31G*	
1a	۶۰/۵۸	۶۵/۲۰	۶۱/۸۳	۴۱/۷۶
2a	۴۵/۹۳	۵۰/۸۶	۴۸/۷۹	۴۲/۰۱
2b _s	۵۱/۱۵	۵۰/۸۶	۴۸/۸۰	۴۰/۷۷
2b _t (C _s)	۵۴/۰۷	۸۴/۴۳	۷۶/۲۳	۴۰/۳۴
2b _t (C _I)	۵۴/۰۲	۸۴/۱۵	۷۷/۲۸	۴۰/۶۹
3a	۴۵/۱۶	۴۸/۴۴	۴۷/۷۹	۴۱/۹۷
3b _s	۵۵/۱۳	۶۸/۴۰	۶۳/۷۶	۳۹/۳۶
3b _t (C _s)	۵۷/۲۵	۹۱/۲۳	۸۱/۱۸	۳۹/۸۲
3b _t (C _I)	۵۴/۳۹	۹۰/۰۵	۸۰/۴۴	۴۰/۶۴
4a	۵۱/۵۱	۵۸/۸۸	۵۵/۴۰	۴۱/۱۲
4b _s	۹۳/۲۵	۱۰۲/۲۷	۹۷/۸۸	۳۹/۴۵
4b _t (C _I)	۵۴/۰۴	۸۳/۷۴	۷۶/۳۸	۴۰/۱۳
4b _t (C _s)	۵۵/۳۸	۸۳/۶۶	۷۶/۴۳	۴۰/۹۳
5a	۲۶/۳۸	۲۶/۷۶	۲۵/۹۶	۴۱/۹۸
5b _s	۵۰/۶۲	۵۹/۱۰	۵۵/۶۶	۴۰/۰۰
5b _t (C _s)	۵۴/۹۲	-	-	۴۰/۴۳
6a	۱۱/۸۴	۹/۱۱	۱۲/۷۰	۴۲/۲۳
6b _s	۳۱/۴۲	۴۰/۱۱	۳۶/۵۰	۴۰/۹۸
6b _t (C _s)	۳۲/۹۵	-	-	۴۰/۹۶
6b _t (C _I)	۳۲/۶۰	-	-	۴۱/۱۲
7a	۰/۰۰	۰/۰۰	۰/۰۰	۴۲/۷۲
7b _s	۱۲/۷۰	۱۷/۴۸	۱۵/۸۷	۴۲/۱۲
7b _t (C _s)	۳۲/۸۶	۴۸/۳۳	۴۵/۶۷	۴۰/۱۹
7b _t (C _I)	۳۲/۸۷	۴۸/۳۳	۴۵/۶۷	۴۱/۱۴
8a	۴۵/۵۴	۵۰/۳۲	۵۲/۳۶	۴۱/۶۰
8b _s	۵۸/۷۱	۷۱/۴۴	۶۶/۰۴	۳۹/۸۳
8b _t (C _s)	۶۰/۳۱	-	-	۳۹/۹۸
8b _t (C _I)	۵۷/۶۱	-	-	۴۰/۶۵
9a	۵۵/۲۹	۵۶/۶۰	۵۳/۹۹	۴۱/۲۰
9b _s	۹۰/۲۸	۵۶/۶۵	۵۳/۹۸	۳۹/۹۵
9b _t (C _s)	۸۵/۱۰	-	۱۰۴/۸۶	۳۸/۸۷
9b _t (C _I)	۷۴/۸۹	-	-	۴۰/۷۱
10a	۴۵/۰۹	۴۵/۲۷	۴۵/۹۳	۴۱/۵۸
10b _s	۶۹/۸۱	۴۵/۴۸	۴۵/۹۳	۴۰/۶۶
10b _t (C _s)	۶۱/۴۶	-	-	۴۰/۳۲
10b _t (C _I)	۵۹/۴۹	-	-	۴۱/۰۶

^a تصحیح در این موارد لحاظ نشده است



شکل ۱- ساختارهای ورودی ایزومرهای تری‌آزاسیکلوهپتا-۱,۴,۲,۶-تتران (1a-10a) و تری‌آزاسیکلوهپتا-۱,۳,۵-تری‌ان-۷-ایلیدن (1b-10b)

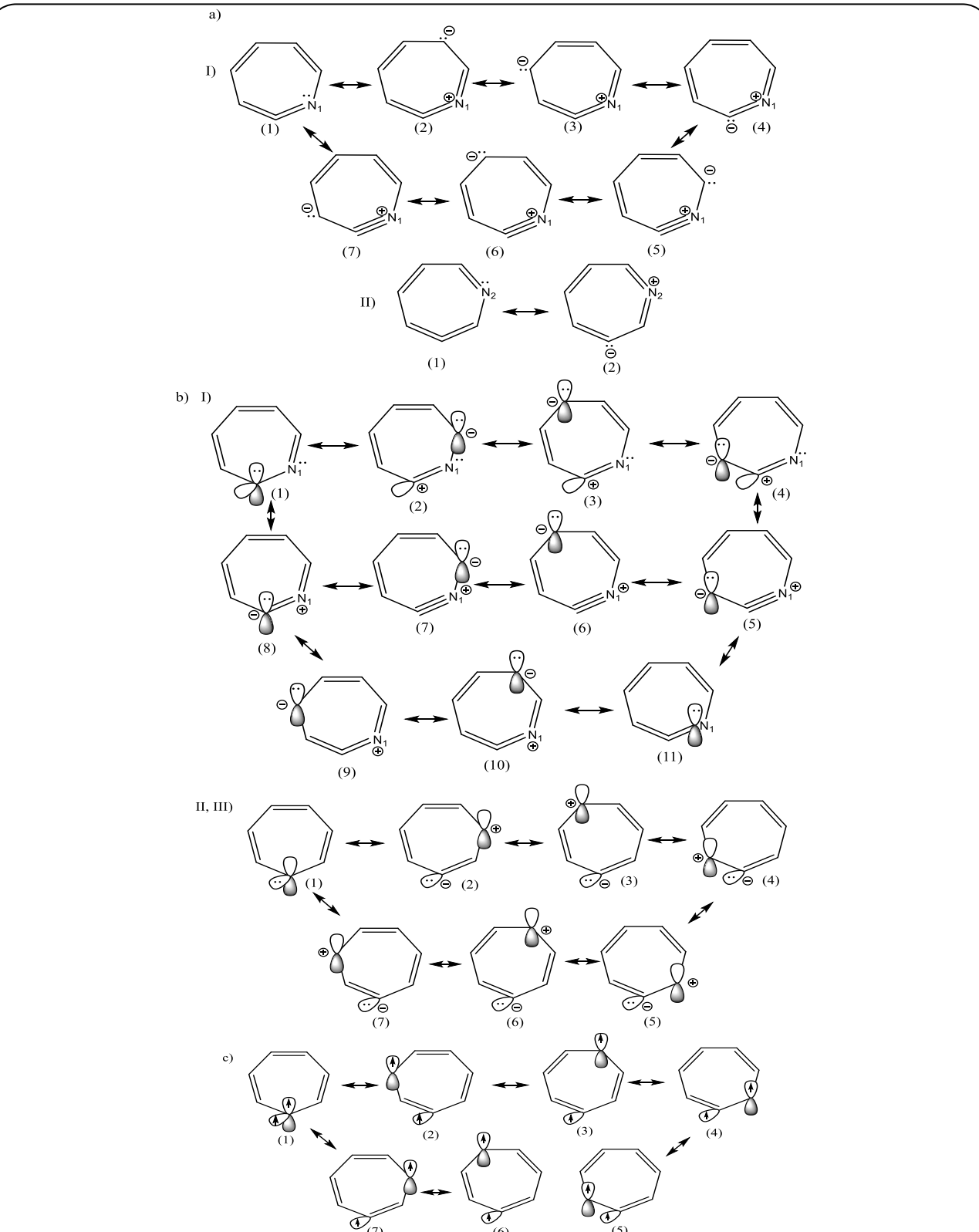


شکل ۲- رابطه بین شکافتگی انرژی $\Delta E_{\text{LUMO-HOMO}}$ (kcal/mol) برای سه سری از ایزومرهای تری‌آزاسیکلوهپتا-تتران (1a-10a) و انرژی نسبی ΔE (kcal/mol) مربوطه در روش B3LYP/6-311++G** (a) و (c)؛ 2a, 3a, 4a, 5a, 8a, 10a (b)؛ 1a, 9a (d)

دافعه شدید بین زوج الکترون کربن کاربئی C₇ و زوج الکترون غیرپیوندی نیتروژن N₁ ایجاد می‌شود. وجود این دافعه منجر به این می‌شود که زوج الکترون موجود در اریتال 5 مرکز کاربئی C₇ به اریتال p آن منتقل شده و سامانه با هشت الکترون π ضدآروماتیک و ناپایدار شود (شکل ۳bI و جدول‌های ۲ و ۳ پیوست). وجود بار اتمی مثبت روی C₇ و بار اتمی منفی روی C₆ در این ایزومرها فرم‌های رزونانسی به دست آمده از ساختار ضدآروماتیسیته را تأیید می‌کند (جدول ۲).

این ساختارهای یکتایی با وجود داشتن هشت الکترون π و

از ایزومرهای 10b_s, 9b_s, 2b_s، همچنین حالت الکترونی سه‌تایی با تقارن مسطح از گونه‌های 1b_s-8b_s حالت گذار می‌باشند، در حالی که حالت‌های الکترونی سه‌تایی غیرمسطح مربوطه کمینه هستند (شکل ۲ پیوست). حالت الکترونی یکتایی ایزومرهای 8b_s, 7b_s, 6b_s, 5b_s, 3b_s, 2b_s در صورت وجود آروماتیسیته ناشی از شش الکترون π دارای دافعه بین زوج الکترون کربن کاربئی C₇ و زوج الکترون غیرپیوندی نیتروژن N₁ می‌باشند. حالت الکترونی یکتایی ایزومرهای 8b_s, 7b_s, 6b_s, 5b_s, 3b_s, 2b_s ضدآروماتیک و ناپایدار است. در صورت آروماتیک بودن این ایزومرها،



شکل ۳- شکلهای رزونانسی مهم برای (a) ایزومرهای تری آزاسیکلوهپتا-۱,۴,۲,۱-تربان و (b) حالت الکترونی یک تایی (s) ایزومرهای تری آزاسیکلوهپتا-۱,۵,۳,۱-تربیان-۷-ایلیدن و (c) حالت الکترونی سه تایی (t) ایزومرهای تری آزاسیکلوهپتا-۱,۵,۳,۱-تربیان-۷-ایلیدن .(10b, 9b, 1b-8b؛ سری I: زمانی که X_1 نیتروژن باشد، ایزومرهای b-8b؛ سری II: زمانی که X_1 کربن باشد ایزومرهای 9b, 10b).

جدول ۲- بار اتمی NBO به دست آمده از روش B3LYP/6-311++G** برای ایزومرهای تری آزاسیکلوهپتا-۱,۴,۲,۶-تریان (1a-10a) و
حالتهای الکترونی یکتایی (s) و سهتایی (t) ایزومرهای تری آزاسیکلوهپتا-۱,۳,۵-تریان-۷-ایلیدن (2b-10b)

گونه‌ها	بار اتمی			گونه‌ها	بار اتمی		
	N ₁	N ₆	C ₇		N ₁	N ₆	C ₇
1a	-0/+8	-0/17	+1/11	7a	-0/55	-0/53	+1/57
	N ₁	C ₆	C ₇	7b _s	-0/61	-0/57	+1/59
2a	-0/+5	-0/25	+1/13	7b _t (C _s)	-0/57	-0/52	+1/56
2b _s	-0/11	-0/42	+1/34	7b _t (C ₁)	-0/56	-0/51	+1/58
2b _t (C _s)	-0/26	-0/32	+1/32	C ₁	N ₆	C ₇	
2b _t (C ₁)	-0/25	-0/31	+1/32	8a	-0/33	+1/5	+1/17
	N ₁	C ₆	C ₇	8b _s	-0/49	-0/39	+1/56
3a	-0/+8	+1/4	+1/8	8b _t (C _s)	-0/44	-0/03	+1/31
3b _s	-0/31	-0/24	+1/44	8b _t (C ₁)	-0/44	-0/06	+1/32
3b _t (C _s)	-0/28	-0/01	+1/27	C ₁	C ₆	C ₇	
3b _t (C ₁)	-0/25	+1/00	+1/27	9a	-0/12	-0/32	+1/08
	N ₁	C ₆	C ₇	9b _s	+1/0	-0/21	-0/04
4a	-0/14	-0/43	+1/36	9b _t (C _s)	+1/01	-0/27	+1/11
4b _s	-0/21	-0/49	+1/23	9b _t (C ₁)	-0/04	-0/34	+1/12
4b _t (C _s)	-0/33	-0/51	+1/50	C ₁	C ₆	C ₇	
4b _t (C ₁)	-0/30	-0/50	+1/51	10a	-0/12	-0/05	+1/00
	N ₁	C ₆	C ₇	10b _s	-0/19	-0/19	+1/17
5a	-0/48	-0/46	+1/44	10b _s n	+1/07	+1/02	-0/11
5b _s	-0/53	-0/60	+1/63	10b _t (C _s)	+1/01	+1/04	+1/05
5b _t (C _s)	-0/49	-0/34	+1/36	10b _t (C ₁)	-0/03	+1/05	+1/04
	N ₁	C ₆	C ₇				
6a	-0/48	-0/19	+1/37				
6b _s	-0/58	-0/32	+1/56				
6b _t (C _s)	-0/52	-0/07	+1/31				
6b _t (C ₁)	-0/52	-0/08	+1/31				

ایزومرهای 2b, 5b, 6b, 7b, 2b, 5b, 6b, 5b_s, 6b_t, 7b_s, 7b_t, 5b_t(C_s), 6b_t(C₁) یکتایی است (جدول ۱). این پایداری یکتایی حالت گذار در ایزومر 2b_s به دلیل غیرمسطح بودن آن و در نتیجه پایین بودن دافعه بین زوج الکترون‌های غیرپیوندی همچنین گونه‌های شامل دو اتم نیتروژن مجاور می‌باشد. این اتم‌های نیتروژن مجاور در حلقه وجود ندارد و همچنین تعداد فرم‌های رزونانسی حالت یکتایی ضدآروماتیک بیشتر از حالت سه‌تایی است که منجر به پایداری حالت الکترونی یکتایی می‌شود. این در حالی است که ایزومرهای 8b_s, 3b_s, 8b_t, 3b_t دارای دو اتم مجاور N₅, N₄ بوده و دافعه‌ی شدید زوج الکترون‌های غیرپیوندی آن‌ها را

ضدآروماتیک بودن از سه‌تایی مسطح مربوطه پایدارترند (جدول ۱). چون سه‌تایی مسطح غیرآروماتیک، دارای دافعه‌ی زوج الکترون غیرپیوندی در ایزومرهای شامل دو اتم نیتروژن مجاور می‌باشد. همچنین گونه‌های مسطح 6b_t, 7b_t با وجود اینکه دو اتم نیتروژن مجاور ندارند، به علت دافعه بین زوج الکترون N₁ و C₇ از یکتایی مربوطه ناپایدارترند. گونه‌های سه‌تایی الکترون تک C₇ از یکتایی مربوطه ناپایدارترند. گونه‌های سه‌تایی غیرمسطح با تغییر تقارن به C₁ و به دنبال آن رهایی از دافعه پایدارتر C₄N₃H₃ می‌شوند و به عنوان کمینه روی منحنی انرژی پتانسیل ظاهر می‌شوند (شکل ۲ پیوست). با این وجود حالت الکترونی پایه‌ی

نیتروژن قرار می‌گیرد، در صورتی که در سهتایی الکترون تک روی اتم نیتروژن می‌نشیند (شکل ۳bI, c). از این رو حالت الکترونی سهتایی پایدارتر از حالت الکترونی یکتایی است (جدول ۱). حالت الکترونی سهتایی ایزومرهاي ۹b_s, ۱۰b_s با تغییر تقارن از مسطح به C₁ از دافعه‌ی زوج الکترون‌های غیرپیوندی اتم‌های نیتروژن مجاور رها شده و به پایدارترین فرم خود می‌رسند. که نقطه‌های کمینه در منحنی انرژی پتانسیل C₄N₃H₃ می‌باشند (شکل ۲ پیوست). وجود بار منفی منفی بر روی C₇ در ایزومرهاي ۹b_s, ۱۰b_s نشان دهنده شکل‌های رزونانسی پیشنهادی در شکل ۴bII بوده و آروماتیسیته آن‌ها را تأیید می‌کند (جدول ۳ پیوست و ۲). زاویه‌ی کاربینی کوچک در کاربن یکتایی (۱۱۵–۱۱۱°) نسبت به سری الف بیانگر وجود زوج الکترون غیرپیوندی کاربن در اریتال ۵ و وجود آروماتیسیته‌ی بالاست (شکل ۳). همان طور که انتظار می‌رود حالت الکترونی سهتایی زاویه‌ی کاربینی بزرگ‌تری دارد (شکل ۲ پیوست).

رامیزاسیون آلن‌ها

محاسبات DFT و ab-initio نشان می‌دهند که حالت الکترونی یکتایی تری آزاسیکلولهپتا-۱,۵,۳,۲-تری‌ان-۷-ایلیدن حالت گذار برای رامیزاسیون تری آزاسیکلولهپتا-۱,۶,۴,۲-تران است (جدول ۱). انرژی فعال‌سازی ($\Delta E^{\#}$) و آنتالپی فعال‌سازی ($\Delta H^{\#}$) و انرژی آزاد گیبس فعال‌سازی ($\Delta G^{\#}$) به دست آمده از روش B3LYP/6-311++G** برای واکنش رامیزاسیون تری آزاسیکلولهپتا-۱,۶-تران روند یکسانی را نشان می‌دهد (جدول ۳). روند انرژی فعال‌سازی در ایزومرهاي مختلف تری آزاسیکلولهپتا‌تران به صورت زیر است (جدول ۳):

$$\begin{aligned} 2\text{a} & (5/22 \text{ kcal/mol}) < 3\text{a} (9/97 \text{ kcal/mol}) < 7\text{a} (12/70 \text{ kcal/mol}) \\ & < 8\text{a} (13/18 \text{ kcal/mol}) < 6\text{a} (19/58 \text{ kcal/mol}) \\ & < 5\text{a} (24/24 \text{ kcal/mol}) < 10\text{a} (24/72 \text{ kcal/mol}) < 9\text{a} (34/99 \text{ kcal/mol}). \end{aligned}$$

در بین همه‌ی ایزومرها، 2a با کمترین انرژی فعال‌سازی، بیشترین تمايل برای رامیزاسیون را نشان می‌دهد (جدول ۳). حالتهای گذار ایزومرهاي 2b_s, 3b_s, 7b_s, 8b_s, 2b_s, 3b_s, 7b_s, 8b_s با بخش X₆-C₇=N₁ به ترتیب کمترین انرژی فعال‌سازی را جهت رامیزاسیون گونه مربوطه نشان می‌دهند (X می‌تواند اتم کربن و یا نیتروژن باشد) (شکل ۳bI و جدول ۳).

بار منفی روی اتم N₂ در ایزومر 2b_s از یک سمت توسط نیتروژن مثبت و از سمت دیگر توسط گروه CN پایدار می‌شود. ضمن این که

نسبت به سهتایی غیرمسطح مربوطه ناپایدارتر می‌کند (جدول ۱). به طوری که 8b, 3b به طوری حالت پایه الکترونی سهتایی می‌باشد. شایان ذکر است که گونه‌های 1b_s, 1b_s به علت دافعه‌ی شدید سه اتم نیتروژن مجاور هم و مجاور مرکز کاربینی به وجود نمی‌آید تا بتواند الکترون‌های مرکز کاربینی را از p به p منتقل کند و ضد آروماتیک شود.

همچنین 4b_s به علت دافعه شدید نقطه زینی است و هرگز وجود ندارد. در حالی که حالت الکترونی سهتایی مسطح آن 4b_s, حالت گذار بوده و پایدارتر از گونه‌ی یکتایی است. این پایداری به علت کاهش دافعه در حالت الکترونی سهتایی است. همچنین با غیرمسطح شدن حالت الکترونی سهتایی 4b_s به منطقه کمینه می‌رسد (شکل ۲ پیوست و جدول ۲ پیوست). هیبریداسیون، مرتبه و طول پیوندهای N₁-C₇ و جدول ۲ پیوست) وجود بخش X₆-C₇=N₁ را برای ایزومرهاي 2b_s و 3b_s و بخش X₆=C₇=N₁ را برای گونه‌های 6b_s, 5b_s تأیید می‌کند (شکل ۲ پیوست و ۳ و جدول‌های ۱ و ۲ پیوست). بنابراین وجود دو اتم نیتروژن مجاور و درنتیجه وجود دافعه‌ی زوج الکترون‌های غیرپیوندی آن‌ها در ایزومرهاي 2b_s, 3b_s منجر به آین می‌شود که N₁ زوج الکترون خود را در اریتال خالی داخل صفحه C₇ قرار دهد. در صورتی که در ایزومرهاي 6b_s, 5b_s زوج الکترون N₁ در اریتال عمود بر صفحه مولکول جای می‌گیرد (شکل 3bI). شایان ذکر است که ایزومر 7b_s دارای بخش N₆=C₇-N₁ است، به طوری که بخش اول محتمل‌تر است. این امر به سبب پایداری بار منفی N₁ از دو سو توسط گروههای CN است (شکل 3bI).

سری ب

محاسبه‌های B3LYP/6-311++G** نشان می‌دهد که حالت الکترونی پایه‌ی این ایزومرها مربوط به حالت الکترونی سهتایی با تقارن C₁ است. علی‌رغم این که حالت الکترونی یکتایی به علت عدم وجود اتم نیتروژن در مجاورت مرکز کاربینی، آروماتیک شناخته شده است، گونه‌های سهتایی از یکتایی پایدارتر است (جدول ۳ پیوست و ۱). وجود زاویه‌ی کوچک کاربینی و دافعه بین زوج الکترون‌های غیرپیوندی دو اتم نیتروژن مجاور با وجود داشتن آروماتیسیته‌ی بالا در ایزومرهاي 10b_s, 9b_s موجب ناپایداری آن‌ها به‌ویژه ایزومر 9b_s می‌شود (جدول ۱). همچنین تعداد فرم‌های رزونانسی برای حالت الکترونی یکتایی و سهتایی یکسان بوده و در شکل‌های رزونانسی یکتایی، بار مثبت توسط رزونانس پیوند π روی اتم

جدول ۳- انرژی فعال سازی ($\Delta E^\#$) و آنتالپی فعال سازی ($\Delta H^\#$) و انرژی آزاد گیبس فعال سازی ($\Delta G^\#$) بر حسب kcal/mol بدست آمده از روش B3LYP/6-311++G** برای راسمیزاسیون ایزومرها تری آزاسیکلوهپتا-۶,۴,۲,۱-تتران (2a-10a) از طریق گونه‌های یک‌تایی مسطح تری آزاسیکلوهپتا-۱,۵,۳,۱-۵,۳-۷-ایلیدن (2b_s-10b_s).

گونه‌ها	B3LYP/6-311++G**		
	$\Delta E^\#$	$\Delta H^\#$	$\Delta G^\#$
2a	۵/۲۲	۳/۸۲	۴/۰۴
3a	۹/۹۷	۷/۷۰	۶/۷۲
4a	۴۱/۷۳	۴۰/۰۸	۳۹/۸۹
5a	۲۴/۲۴	۲۲/۵۰	۲۱/۹۶
6a	۱۹/۵۸	۱۸/۱۸	۱۸/۱۸
7a	۱۲/۷۰	۱۱/۹۶	۱۱/۹۶
8a	۱۳/۱۸	۱۱/۵۹	۱۱/۵۹
9a	۳۴/۹۹	۳۳/۶۵	۳۳/۶۵
10a	۲۴/۷۲	۲۳/۶۲	۲۳/۶۲

$\Delta E^\#$ N₃, N₄ که در حالت مسطح به مقدار بیشیته می‌رسد دارای $\Delta E^\#$ بزرگ‌تری است (جدول ۳). ایزومرها سری ب دارای $\Delta E^\#$ بزرگ‌تری از سری الف می‌باشند چون عدم وجود اتم نیتروژن در مجاورت مرکز کاربینی موجب ناپایداری حالت گذار یکتایی شده و $\Delta E^\#$ بزرگ‌تری را نتیجه می‌دهد (جدول ۳). در این میان 9b_s به علت دافعه‌ی شدید زوج الکترون‌های غیرپیوندی اتم‌های نیتروژن بزرگ‌ترین $\Delta E^\#$ را به خود اختصاص می‌دهد.

نتیجه‌گیری

پایدارترین تری آزاسیکلوهپتا-۶,۴,۲,۱-تتران غیر مسطح، ایزومر 7a با بزرگ‌ترین زاویه دی‌ایمینی و کوچک‌ترین زاویه‌ی چرخش است. ایزومرها با ساختار آلنی یا شبه آلنی ناپایدارترند. ایزومرها 9a, 1a به دلیل دافعه بین زوج الکترون‌های غیرپیوندی در اتم‌های نیتروژن مجاور جزو ناپایدارترین آلن‌ها می‌باشند. آلن‌ها با تقارن غیرمسطح دارای فعالیت نوری هستند بنابراین می‌توانند به ایزومر نوری دیگر مربوطه تبدیل شوند. محاسبه‌ها بینگر حاکی از آن است که راسمیزاسیون تری آزاسیکلوهپتا-۶,۴,۲,۱-تتران از طریق حالت گذار یکتایی تری آزاسیکلوهپتا-۱,۵,۳,۱-۵,۳-۷-ایلیدن انجام می‌شود. ایزومر 2a با کوچک‌ترین $\Delta E^\#$ و $\Delta H^\#$ و $\Delta G^\#$ به آسانی راسمیزه می‌شود. ایزومرها یک‌تایی حاوی اتم نیتروژن در مجاورت مرکز کاربینی "الف" به جز ایزومر 4b_s دارای هشت الکترون در اوربیتال π بوده، خداروماتیک و

بار منفی روی اتم الکترونگاتیو نیتروژن N₂ قرار دارد که به پایداری 2b_s می‌انجامد. همچنین ایزومر 2b_s با تقارن C₁ از دافعه‌ی زوج الکترون‌های غیرپیوندی اتم‌های نیتروژن مجاور خلاص شده و در نتیجه کوچک‌ترین انرژی فعال سازی مربوط به ایزومر 2a است. در صورتی که بار منفی در ایزومر 3b_s روی اتم C₄ وجود دارد که از یک سو توسط گروه CN و از سوی دیگر توسط اتم N₅ پایدار می‌شود. این پایداری به اندازه‌ی 2b_s نبوده ضمن این که 3b_s مسطح بوده و دافعه‌ی نیتروژن - نیتروژن دارد. بنابراین ایزومر 3a، انرژی فعال سازی بزرگ‌تری را نتیجه می‌دهد. بار منفی در ایزومر 7b_s روی اتم الکترونگاتیو نیتروژن N₁ قرار می‌گیرد که توسط گروه‌های CN پایدار می‌شود ولی به علت پایداری زیاد آن مربوطه تمایل آن برای راسمیزه شدن کمتر از ایزومرها 2a و 3a است.

ایزومر بعدی 8a است با حالت گذار 8b_s که دارای بار منفی بر روی اتم کربن C₆ می‌باشد که از یک سمت توسط CN و از سوی دیگر توسط N₅ پایدار می‌شود. در حالی که وجود اتم N₄ در مجاورت N₅ موجب می‌شود که اتم N₅ نتواند به خوبی 3b_s را پار منفی C₆ را پایدار کند بنابراین چهارمین تمایل برای راسمیزه شدن مربوط به ایزومر 8a است (جدول ۳).

ایزومرها 6a, 5a, 6b_s, 5b_s دارای بخش C₆=C₇=N₁ با تقارن مسطح چون حالت گذار 5b_s به گونه‌ای که زوج الکترون اتم N₁ باید عمود بر صفحه‌ی مولکول باشد. قرار دادن این گروه به صورت مسطح در حلقه هفت‌تایی موجب ناپایداری آن شده و $\Delta E^\#$ را زیاد می‌کند. شایان ذکر است که ایزومر 5a به علت دافعه‌ی زوج الکترون‌های غیرپیوندی

اشغال شده و یک اوربیتال مولکولی π^* خالی می باشند.

حالت گذار می باشند . نبود اتم نیتروژن در مجاورت مرکز کاربنی سایر ایزومرها "ب" آنها را ناپایدارتر از یکتایی "الف" می سازد. بنابراین $\Delta E^\#$ سری "ب" بزرگتر بوده و راسمیزاسیون کنتر صورت می گیرد. حالتهای الکترونی یکتایی "ب" دارای یک اوربیتال مولکولی ۵

تاریخ دریافت: ۱۳۹۷/۴/۱۸ ، تاریخ پذیرش: ۱۳۹۷/۷/۱۶

مراجع

- [1] Wentrup. C, "Rearrangements and Interconversions of Carbenes and Nitrenes", in Minisci. F, Hendrickson. J.B, Wentrup. C (Eds.) "Synthetic and Mechanistic Organic Chemistry", Springer Berlin Heidelberg, Berlin, Heidelberg, pp. 173-251. (1976).
- [2] Wentrup. C, "Carbenes and Nitrenes in Heterocyclic Chemistry: Intramolecular Reactions", in Katritzky. A.R, Boulton. A.J (Eds.) "Advances in Heterocyclic Chemistry", Academic Press, pp. 231-361 (1981).
- [3] Platz. M.S, "Comparison of Phenylcarbene and Phenylnitrene", *Accounts of Chemical Research*, **28**: 487-492 (1995).
- [4] Karney. W. L, Thatcher. B.W, "Differences between Phenylcarbene and Phenylnitrene and the Ring Expansions They Undergo", *Advances in Carbene Chemistry*, 1st ed., Telewise, Amsterdam, (2001).
- [5] Grisant. N.P, Platz. M.S, Kinetics and Spectroscopy of Substituted Phenylnitrenes, in Advances in Physical Organic Chemistry, Academic Press, pp. 255-304 (2001).
- [6] Crow. W.D, Wentrup. C, Nitrogen Scrambling in 2-Pyridylnitrene, *Journal of the Chemical Society D: Chemical Communications*, **0**: 1387-1388 (1969).
- [7] Evans. R.A, Wong. M.W, Wentrup. C, 2-Pyridylnitrene-1,3-Diazacyclohepta-1,2,4,6-Tetraene Rearrangements in the Trifluoromethyl-2-Pyridyl Azide Series, *Journal of the American Chemical Society*, **118**: 4009-4017 (1996).
- [8] Karney. W.L, Borden. W.T, Ab Initio Study of the Ring Expansion of Phenylnitrene and Comparison with the Ring Expansion of Phenylcarbene, *Journal of the American Chemical Society*, **119**: 1378-1387 (1997).
- [9] Matzinger. S, Bally. T, Patterson. E.V, McMahon. R.J, The C_7H_6 Potential Energy Surface Revisited: Relative Energies and IR Assignment, *Journal of the American Chemical Society*, **118**: 1535-154. (1996).
- [10] Wong. M.W, Wentrup. C, Interconversions of Phenylcarbene, Cycloheptatetraene, Fulvenallene, and Benzocyclopropene. A Theoretical Study of the C_7H_6 Energy Surface, *The Journal of Organic Chemistry*, **61**: 7022-7029 (1996).
- [11] Schreiner P.R., Karney W.L., von Ragué Schleyer P., Borden W.T., Hamilton T.P., Schaefer H.F., Carbene Rearrangements Unsurpassed: Details of the C_7H_6 Potential Energy Surface Revealed, *The Journal of Organic Chemistry*, **61**: 7030-7039 (1996).

- [12] Wentrup C., Winter H.W., **Isolation of Diazacycloheptatetraenes from Thermal Nitrene-Nitrene Rearrangements**, *Journal of the American Chemical Society*, **102**: 6159-6161 (1980).
- [13] Wentrup C., Thétaz C., Tagliaferri E., Lindner H.J., Kitschke B., Winter H.-W., Reisenauer H.P., **Cyclic Carbodiimides in Nitrene Rearrangements**, *Angewandte Chemie International Edition in English*, **19**: 566-567 (1980).
- [14] Kuzaj M., Lüerssen H., Wentrup C., **ESR Observation of Thermally Produced Triplet Nitrenes and Photochemically Produced Triplet Cycloheptatrienylidenes**, *Angewandte Chemie International Edition in English*, **25**: 480-482 (1986).
- [15] Chapman O.L., Sheridan R.S., **3-Pyridylmethylene: Infrared Spectrum and Photochemistry**, *Journal of the American Chemical Society*, **101**: 3690-3692 (1979).
- [16] Chapman O.L., Sheridan R.S., Leroux J.P., **Photochemical Transformations on the C₆H₅N Energy Surface**, *Recueil des Travaux Chimiques des Pays-Bas*, **98**: 334-337 (1979).
- [17] Chapyshev S.V., Kuhn A., Wong M.W., Wentrup C., **Mono-, Di-, and Trinitrenes in the Pyridine Series**, *Journal of the American Chemical Society*, **122**: 1572-1579 (2000).
- [18] Kvaskoff D., Bednarek P., George L., Waich K., Wentrup C., **Nitrenes, Diradicals, and Ylides. Ring Expansion and Ring-Opening in 2-Quinazolylnitrenes**, *The Journal of Organic Chemistry*, **71**: 4049-4058 (2006).
- [19] Liu Y., Luo Z., Zhang J.Z., Xia F., **DFT Calculations on the Mechanism of Transition-Metal-Catalyzed Reaction of Diazo Compounds with Phenols: O–H Insertion Versus C–H Insertion**, *The Journal of Physical Chemistry A*, **120**: 6485-6492 (2016).
- [20] Jasiński R., Jasińska E., Dresler E., **A DFT Computational Study of the Molecular Mechanism of [3 +2] Cycloaddition Reactions Between Nitroethane and Benzonitrile N-Oxides**, *Journal of Molecular Modeling*, **23**: 13 (2016).
- [21] Ricci M., Lofrumento C., Becucci M., Castellucci E.M., **The Raman and SERS Spectra of Indigo and Indigo-Ag₂ Complex: DFT Calculation and Comparison with Experiment**, *Spectrochimica Acta Part A: Molecular and Biomolecular Spectroscopy*, **188**: 141-148 (2018).
- [22] Rzepa H.S., Arkhipenko S., Wan E., Sabatini M.T., Karaluka V., Whiting A., Sheppard T.D., **An Accessible Method for DFT Calculation of ¹¹B NMR Shifts of Organoboron Compounds**, *The Journal of Organic Chemistry*, **83**: 8020-8025 (2018).
- [23] Zhang S., Yu G., Chen J., Zhao Q., Zhang X., Wang B., Huang J., Deng S., Wang Y., **Elucidating Ozonation Mechanisms of Organic Micropollutants Based on DFT Calculations: Taking Sulfamethoxazole as a Case**, *Environmental Pollution*, **220**: 971-980 (2017).
- [24] Plessow P.N., Studt F., **Unraveling the Mechanism of the Initiation Reaction of the Methanol to Olefins Process Using ab Initio and DFT Calculations**, *ACS Catalysis*, **7**: 7987-7994 (2017).
- [25] Khalil Warad I., **Synthesis, Physico-Chemical, Hirschfeld Surface and DFT/B3LYP Calculation of Two New Hexahydropyrimidine Heterocyclic Compounds**, *Iranian Journal of Chemistry and Chemical Engineering (IJCCE)*, **38(4)**: 59-68 (2019).

- [26] Li H., Wang D., Wang C., DFT Study on the Possible Intramolecular Rearrangement of Four Monocyclic Monoterpenes, *Iranian Journal of Chemistry and Chemical Engineering (IJCCE)*, **37(1)**: 169-173 (2018).
- [۲۷] س. سلیمانی امیری، م. کساچی، بررسی محاسباتی حالت‌های الکترونی یک تایی، سه تایی و پنج تایی نایترونوانینیل هالوسایلین، نشریه شیمی و مهندسی شیمی ایران، **۳۵(۴)** : ۹۸ تا ۸۷ (۲۰۱۷).
- [28] Kassaee M.Z., Nimlos M.R., Downie K.E., Waali E.E., A Muno Study of 3-, 5-, 7- and 9-Membered Carbocyclic, Completely Conjugated, Planar Carbenes and Their Nonplanar Isomers, *Tetrahedron*, **41**: 1579-1586 (1985).
- [29] Kassaee M.Z., Haerizade B.N., Arshadi S., Halogenated Isomers of the Interstellar C_3H_2 : An Ab Initio Comparative Study, *Journal of Molecular Structure: THEOCHEM*, **639**: 187-193 (2003).
- [30] Kassaee M.Z., Azarnia J., Arshadi S., 1,2,4,6-Cycloheptatetraenes Racemizations: Substituent Effects Via ab Initio, *Journal of Molecular Structure: Theo.Chem.*, **686**: 115-122 (2004).
- [31] Kassaee M.Z., Koohi M., Mirror Image Conversions of Cyclic Conjugated Non-Planar Allenes, C_9H_7X ($X=H, F, Cl, Br$), *Journal of Molecular Structure: Theo.Chem.*, **755**: 91-98 (2005).
- [32] Kassaee M.Z., Koohi M., Ring Flips of Allenes (C_9H_7X) Over Triplet Carbenes at ab Initio and DFT Levels ($X=H, F, Cl, Br$), *Journal of Molecular Structure: Theo.Chem.*, **815**: 21-29 (2007).
- [33] Kassaee M.Z., Soleimani-Amiri S., Racemizations of Diazacycloheptatetraenes Through Singlet Diazacycloheptatrienylidenes at Theoretical Levels, *Journal of Molecular Structure: THEOCHEM*, **913**: 185-194 (2009).
- [34] Langdon S.M., Legault C.Y., Gravel M., Origin of Chemoselectivity in N-Heterocyclic Carbene Catalyzed Cross-Benzoin Reactions: DFT and Experimental Insights, *The Journal of Organic Chemistry*, **80**: 3597-3610 (2015).
- [35] Nelson J.W., Grundy L.M., Dang Y., Wang Z.-X., Wang X., Mechanism of Z-Selective Olefin Metathesis Catalyzed by a Ruthenium Monothiolate Carbene Complex: A DFT Study, *Organometallics*, **33**: 4290-4294 (2014).
- [36] Menezes da Silva V.H., Braga A.A.C., Cundari T.R., N-Heterocyclic Carbene Based Nickel and Palladium Complexes: A DFT Comparison of the Mizoroki–Heck Catalytic Cycles, *Organometallics*, **35**: 3170-3181 (2016).
- [37] Frisch M.J., Trucks G.W., Schlegel H.B., Scuseria G.E., Robb M.A., Cheeseman J.R., Scalmani G., Barone V., Mennucci B., Petersson G.A., Nakatsuji H., Caricato M., Li X., Hratchian H.P., Izmaylov A.F., Bloino J., Zheng G., Sonnenberg J.L., Hada M., Ehara M., Toyota K., Fukuda R., Hasegawa J., Ishida M., Nakajima T., Honda Y., Kitao O., Nakai H., Vreven T., Montgomery Jr. J.A., Peralta J.E., Ogliaro F., Bearpark M.J., Heyd J., Brothers E.N., Kudin K.N., Staroverov V.N., Kobayashi R., Normand J., Raghavachari K., Rendell A.P., Burant J.C., Iyengar S.S., Tomasi J., Cossi M., Rega N., Millam J.N., Klene M., Knox J.E., Cross J.B., Bakken V., Adamo C., Jaramillo J., Gomperts R., Stratmann R.E., Yazyev O., Austin A.J., Cammi R., Pomelli C., Ochterski J.W., Martin R.L., Morokuma K., Zakrzewski V.G., Voth G.A., Salvador P., Dannenberg J.J., Dapprich S., Daniels A.D., Farkas Ö., Foresman J.B., Ortiz J.V., Cioslowski J., Fox D.J., Gaussian 09, 2009, Gaussian, Inc.: Wallingford, CT, USA.

- [38] Becke A.D., Density-Functional Thermochemistry. IV. A New Dynamical Correlation Functional and Implications for Exact-Exchange Mixing, *The Journal of Chemical Physics*, **104**: 1040-1046 (1996).
- [39] Adamo C., Barone V., Toward Reliable Adiabatic Connection Models Free from Adjustable Parameters, *Chemical Physics Letters*, **274**: 242-250 (1997).
- [40] Krishnan R., Binkley J.S., Seeger R., Pople J.A., Self-Consistent Molecular Orbital Methods. XX. A Basis Set for Correlated Wave Functions, *The Journal of Chemical Physics*, **72**: 650-654 (1980).
- [41] Pople J.A., Head-Gordon M., Raghavachari K., Quadratic Configuration Interaction. A General Technique for Determining Electron Correlation Energies, *The Journal of Chemical Physics*, **87**: 5968-5975 (1987).
- [42] Scuseria G.E., III H.F.S., Is Coupled-Cluster Singles and Doubles (CCSD) More Computationally Intensive Than Quadratic Configuration Interaction (QCISD)?, *The Journal of Chemical Physics*, **90**: 3700-3703 (1989).
- [43] Krishnan. R., Pople. J.A., Approximate Fourth-Order Perturbation Theory of the Electron Correlation Energy, *International Journal of Quantum Chemistry*, **14**: 91-100 (1978).
- [44] Krishnan R., Frisch M.J., Pople J.A., Contribution of Triple Substitutions to the Electron Correlation Energy in Fourth Order Perturbation Theory, *The Journal of Chemical Physics*, **72**: 4244-4245 (1980).
- [45] Hout R.F., Levi B.A., Hehre W.J., Effect of Electron Correlation on Theoretical Vibrational frequencies, *Journal of Computational Chemistry*, **3**: 234-250 (1982).
- [46] DeFrees D.J., McLean A.D., Molecular Orbital Predictions of the Vibrational Frequencies of Some Molecular Ions, *The Journal of Chemical Physics*, **82**: 333-341 (1985).
- [47] Reed A.E., Curtiss L.A., Weinhold F., Intermolecular Interactions from a Natural Bond Orbital, Donor-Acceptor Viewpoint, *Chemical Reviews*, **88**: 899-926 (1988).
- [48] Murata S., Abe S., Tomioka H., Photochemical Reactions of Mesityl Azide with Tetracyanoethylene: Competitive Trapping of Singlet Nitrene and Didehydroazepine, *The Journal of Organic Chemistry*, **62**: 3055-3061 (1997).
- [49] Chapman O.L., Le Roux J.P., 1-Aza-1,2,4,6-Cycloheptatetraene, *Journal of the American Chemical Society*, **100**: 282-285 (1978).